

III-356 アンカーリー引き抜き時の摩擦抵抗と地盤の一軸圧縮強度の関係（その1）
—模型引抜き実験結果について—

九州電力（株）総合研究所 永津忠治 溝上 建 ○秋花芳一

1 はじめに 各種のアンカーリーと地盤との摩擦抵抗は文献等により推定するか、現地で確認試験を実施して求めているのが現状であろう。このうち、現地確認試験は摩擦抵抗を求めるのに最も確実な方法であるが、費用や工程上の制約を受ける。そこで、現地確認試験の簡略化を図るために、室内で簡単に求めることのできる地盤の一軸圧縮強度と、地盤とアンカーリーの摩擦抵抗との関係を求める目的として引抜き実験を行った。本報告は直径30cmのモールドに締固めた種々の強度を有する人工地盤にアンカーリーを打設し、その摩擦抵抗と人工地盤の一軸圧縮強度の関係を調べたものである。

2 人工地盤材料 人工地盤は、福岡県朝倉郡夜須町のまさ土に市販のセメント系の安定処理材を配合して作成した。なお、今回の実験規模はかなり小さいので、

粒径の小さい強風化のまさ土を

人工地盤材料として選んだ。実際に用いたまさ土の物理特性は、比重2.69、自然含水比24~28%で、図-1に示すような粒度分布のものであった。

3 実験項目 表-1に試験項目を示す。まさ土の乾燥質量に対して0~12%の安定処理材

を配合することにより、一軸圧縮強度が1~40kgf/cm²の6種類の人工地盤を作成し、それぞれに定着長la=10, 20, 30cmの模型アンカーリーを施工した。なお、各ケースとも4本の供試体で引抜き試験を実施した。

4 実験方法 図-2に実験のフローチャートを示す。なお、削孔は直径3cmのコンクリートドリルで行い、アンカーリーは水セメント比1:0.5のセメントベースト、引張材は異形鉄筋（SD30, D10）を使用して作成した。また、作成した供試体は薄紙及びパラフィンで直ちに密封し、温度変化の小さい室内で養生した。図-3に引抜き実験装置を示す。なお、反力板は内径28cm外径55cm厚さ2.5cmのステンレス製の円板である。載荷は荷重制御で行い、変位の落ちつきを待って（約2~30分）次の荷重段階に移った。最終的には、変位が増大して一定荷重の保持が不可能な状態の荷重を極限引張り力とした。見かけの摩擦抵抗は引抜き荷重Pをアンカーリー周面積A（=3πla）で除して求めた。

5 実験結果 図-4に定着長la=10cmの実験結果のうち、一軸圧縮強度E_cが1, 8, 40kgf/cm²の荷重とアンカーリー変位の関係を両対数表示で示す。図より、今回のような小さな規模の引抜き実験でも、明瞭な降伏点が現れることが

表-1 実験項目一覧表

安定処理材配合比（%）	一軸圧縮強度（kgf/cm ² ）	定着長 la (cm)			引張材	モールド
		10	20	30		
0	1	①	②	③		
2	5	④	⑤	⑥		
4	8	⑦	⑧	⑨		
8	17	⑩	⑪	⑫		
12	26	⑬	⑭	⑮		
21	40	⑯	⑰	⑱		

注) ①~⑯は試験番号
孔径 3cm

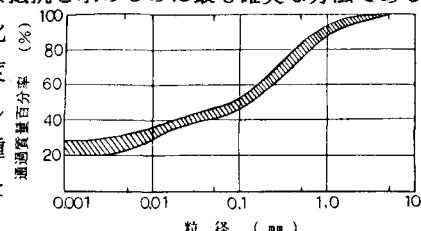


図-1 粒径加積曲線

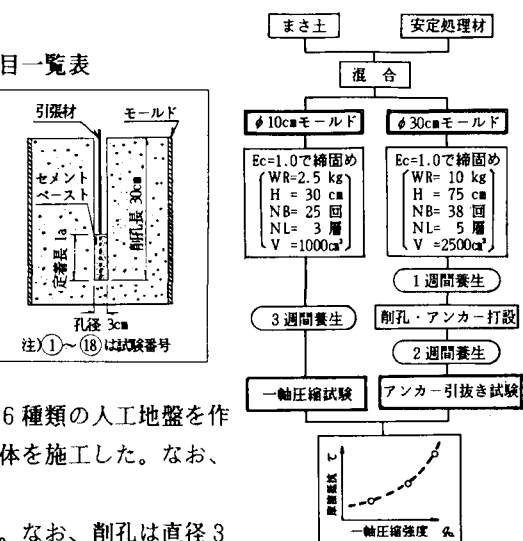


図-2 実験のフローチャート

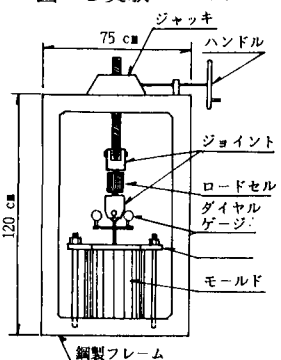


図-3 引抜き実験装置

わかる。また、 η_a が大きくなるほど、降伏荷重、極限荷重ともに大きくなっている。定着長 $l_a = 10\text{cm}$ の η_a と摩擦抵抗との関係のうち降伏時を図-5に、極限時を図-6に示す。図-5、6より、 η_a が大きくなるほど τ_f ともに大きくなることがわかる。また、図-6より $\eta_a = 1\text{kgf/cm}^2$ では $\tau_f > \eta_a/2$ となっている。これは破壊面が地盤内にあり、その面積はアンカ一体周面積よりも大きいため、見かけの τ_f が $\eta_a/2$ よりも大きくなつたと考えられる。一方、 $\eta_a = 5 \sim 40\text{kgf/cm}^2$ では τ_f は $\eta_a/2$ よりもやや小さな値を示している。つまり、 η_a が 5kgf/cm^2 以上になると、地盤内の破壊が生じにくく、アンカ一体と地盤の境界面で破壊が生じたものと考えられる。事実、破壊後のアンカ一体の観察によつても、アンカ一体周面付近でのすべりが確認できた。図-7には、 $\eta_a = 1, 8, 40\text{kgf/cm}^2$ の l_a と、 τ_y 及び τ_f の関係を示す。図より、いずれも l_a が長くなると、 τ_y 、 τ_f ともに低下する傾向が見られる。まず、 $\eta_a = 1\text{kgf/cm}^2$ では図-8に示すように、 $l_a = 10, 20, 30\text{cm}$ とともに引抜き荷重はほぼ同じ値を示している。これは前述のように $\eta_a = 1\text{kgf/cm}^2$ では破壊面が地盤内にあり、この面積が $l_a = 10, 20, 30\text{cm}$ ともにほぼ同じであったためと考えられる。次に $\eta_a = 8\text{kgf/cm}^2$ では $l_a = 30\text{cm}$ のみで小さくなっている。これは、 $l_a = 30\text{cm}$ の場合、図-9に示すような破壊状態を示しているため、実際にてを発揮する面積はアンカ一体の周面積よりも小さくなつたと考えられる。 $\eta_a = 10\text{kgf/cm}^2$ では、図-10に示すように $l_a = 10\text{cm}$ のアンカ一体にはテンションクラックは生じていないが、 $l_a = 20, 30\text{cm}$ のアンカ一体には頭部にテンションクラックが生じ実際にてを発揮する面積がアンカ一体周面積よりも小さくなっている。以上のように、 l_a が長くなると破壊形態の違いによりての大きさに差が生じることがわかつた。

6まとめ 本研究で行った実験結果によれば、摩擦抵抗と一軸圧縮強度の間に良い相関性が見られた。しかし、この関係は、破壊形態の影響を受けることも明らかになった。今後は、実規模レベルのアンカー引抜き実験を行い、摩擦抵抗と一軸圧縮強度、破壊形態の関係を明らかにする予定である。

参考文献

1) 例えは、アースアンカー工法

1976(土質工学会)

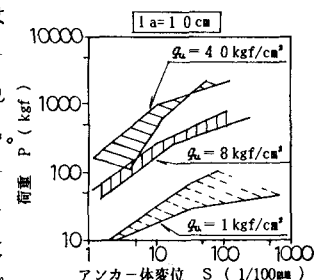


図-4 荷重とアンカーボディ変位の関係

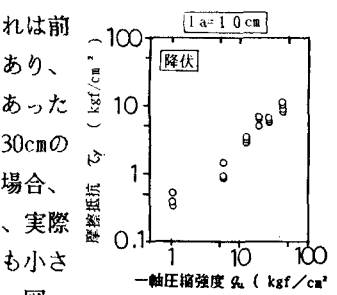


図-5 一軸圧縮強度と摩擦抵抗の関係

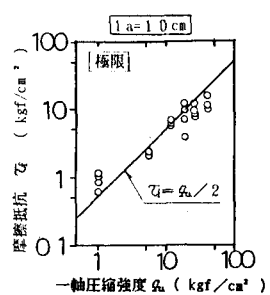


図-6 一軸圧縮強度と摩擦抵抗の関係

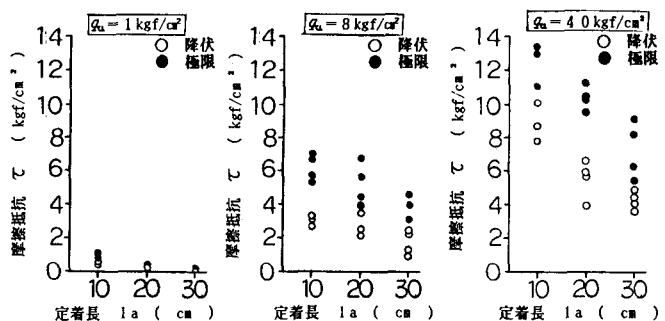


図-7 定着長と摩擦抵抗の関係

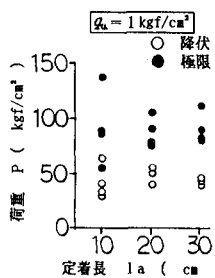


図-8 定着長と荷重の関係

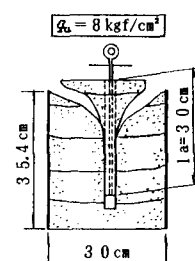


図-9 破壊状態

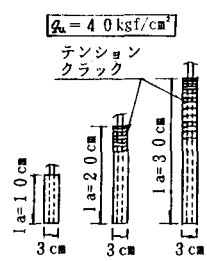


図-10 実験後アンカーボディの状態